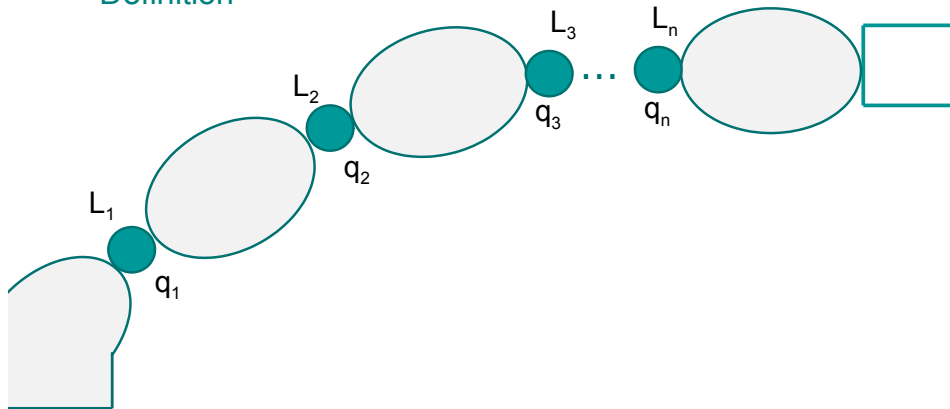


OUTILS FONDAMENTAUX POUR LA ROBOTIQUE

Viviane CADENAT.
Enseignant-chercheur à l'UPS.
LAAS-CNRS, équipe Robotique, Action, Perception.

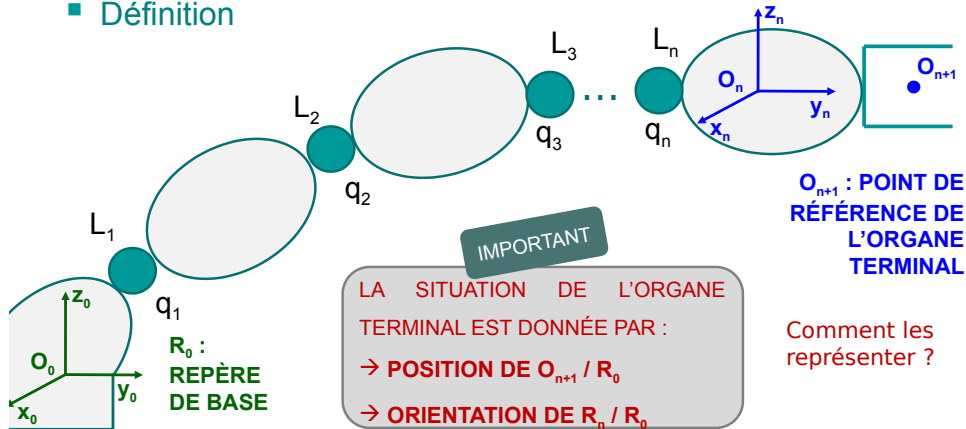
Représentation de la situation de l'organe terminal

■ Définition



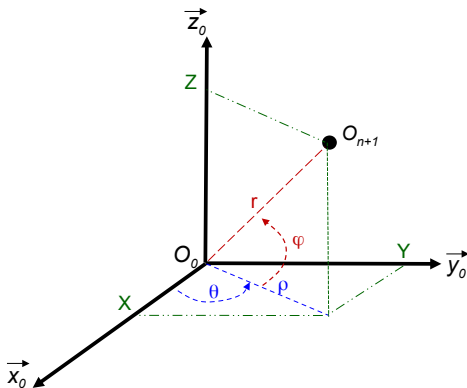
Représentation de la situation de l'organe terminal

■ Définition



Représentation de la situation de l'organe terminal

■ Représentation de la position



IMPORTANT

- Coordonnées cartésiennes

$$\rightarrow \mathbf{x}_p = (X \ Y \ Z)^T$$

- Coordonnées cylindriques

$$\rightarrow \mathbf{x}_p = (\rho \ \theta \ Z)^T$$

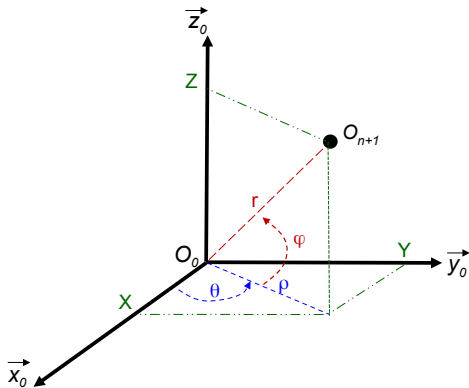
- Coordonnées sphériques

$$\rightarrow \mathbf{x}_p = (r \ \theta \ \varphi)^T$$

ON DÉDUIT LES COORDONNÉES
CYLINDRIQUES ET SPHÉRIQUES DES
COORDONNÉES CARTÉSIENNES.

Représentation de la situation de l'organe terminal

■ Représentation de la position



Coord. cylindriques

$$\rho = \sqrt{X^2 + Y^2}$$

$$\theta = \arctan 2(Y, X)$$

Singularité si $X = Y = 0$

Coord. sphériques

$$r = \sqrt{X^2 + Y^2 + Z^2}$$

$$\theta = \arctan 2(Y, X)$$

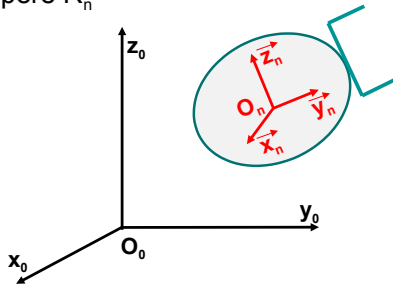
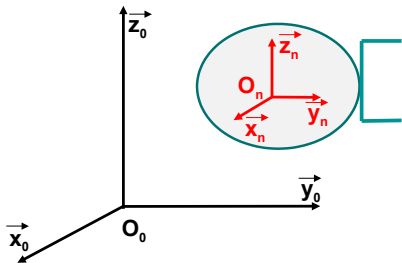
$$\varphi = \arcsin\left(\frac{Z}{r}\right)$$

Singularité si $X = Y = Z = 0$
ou si $X = Y = 0$

Représentation de la situation de l'organe terminal

■ Représentation de l'orientation

- Attacher à l'organe terminal un repère R_n



⇒ L'orientation est donnée par les vecteurs de R_n / Repère fixe (ici R_0)

Représentation de la situation de l'organe terminal

■ Représentation de l'orientation

□ Première paramétrisation :

■ Composantes de $\vec{x}_n, \vec{y}_n, \vec{z}_n$ dans R_0

→ Matrice de rotation R_{0n}

→ Cosinus directeurs complets / partiels → 6 ou 9 paramètres

□ Autres solutions → ne sont calculables qu'à partir de R_{0n}

■ **Systèmes de trois angles** → 3 paramètres

→ Angles de Bryant, Angles d'Euler, ...

→ Représentation minimale → Problème de singularités

■ **1 axe de rotation et 1 angle** → 4 paramètres

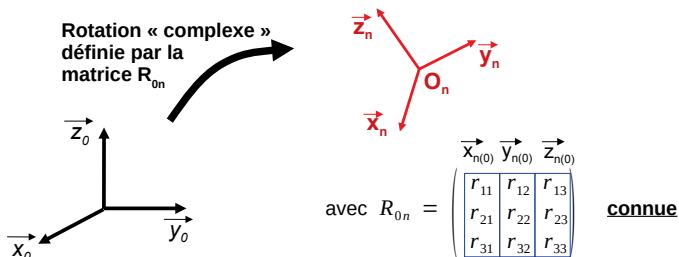
→ Quaternions

→ Représentation non minimale → Pas de singularité

Représentation de la situation de l'organe terminal

■ Représentation de l'orientation

□ Systèmes de trois angles



Question : Peut-on décomposer cette rotation « complexe » en trois rotations « simples » ?

Représentation de la situation de l'organe terminal

■ Représentation de l'orientation

□ Systèmes de trois angles

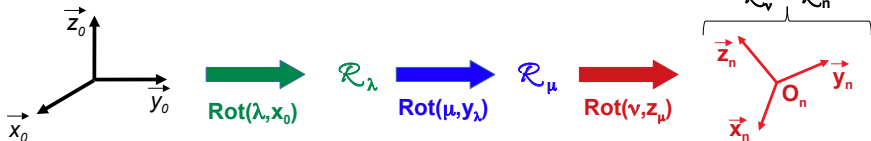
- Idée : Décomposer la rotation « complexe » effectuée par l'organe terminal en trois rotations « simples »

- Angles de Bryant (ou angles de Cardan) $\rightarrow X_R = (\lambda, \mu, \nu)^T$

\rightarrow 1 rotation autour de x d'angle $\lambda \rightarrow \mathcal{R}_\lambda(\lambda, x_\lambda, y_\lambda, z_\lambda)$

\rightarrow 1 rotation autour de y d'angle $\mu \rightarrow \mathcal{R}_\mu(\mu, x_\mu, y_\mu, z_\mu)$

\rightarrow 1 rotation autour de z d'angle $\nu \rightarrow \mathcal{R}_\nu(\nu, x_\nu, y_\nu, z_\nu)$

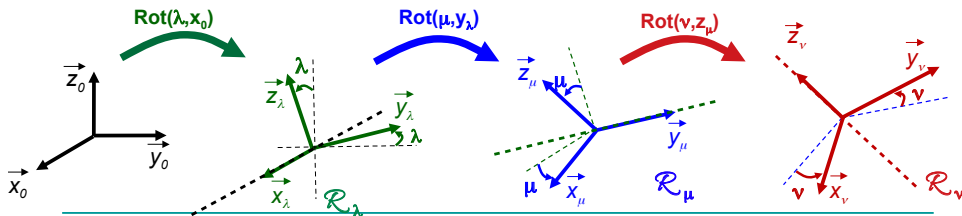


Représentation de la situation de l'organe terminal

■ Représentation de l'orientation

□ Systèmes de trois angles

- Idée : Décomposer la rotation « complexe » effectuée par l'organe terminal en trois rotations « simples »
- **Angles de Bryant (ou angles de Cardan)** $\rightarrow X_R = (\lambda, \mu, \nu)^T$
 \rightarrow 1 rotation autour de x & 1 rotation autour de y & 1 rotation autour de z



Représentation de la situation de l'organe terminal

■ Représentation de l'orientation

□ Systèmes de trois angles

- **Idée** : Décomposer la rotation « complexe » effectuée par l'organe terminal en trois rotations « simples »

- **Angles de Bryant (ou angles de Cardan)** $\rightarrow \mathbf{X}_R = (\lambda, \mu, \nu)^T$

\rightarrow On montre que \mathbf{x}_R peut être calculé à partir de \mathbf{R}_{0n} :

$$\begin{aligned} \text{Si } r_{13} &\neq \pm 1 \text{ alors} \\ \lambda &= \text{Atan2}(-r_{23}, r_{33}) \\ \mu &= \arcsin(r_{13}) \\ \nu &= \text{Atan2}(-r_{12}, r_{11}) \end{aligned}$$

Hors singularité

$$\begin{aligned} \text{Si } r_{13} &= \pm 1 \text{ alors} \\ \mu &= \pm \frac{\pi}{2} \\ r_{13} \lambda + \nu &= \text{Atan2}(-r_{21}, r_{22}) \end{aligned}$$

Singularité : λ et ν ne peuvent pas être calculés indépendamment \rightarrow choix arbitraire

Représentation de la situation de l'organe terminal

■ Représentation de l'orientation

□ Systèmes de trois angles

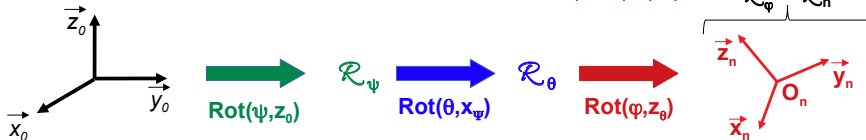
- **Idée** : Décomposer la rotation « complexe » effectuée par l'organe terminal en trois rotations « simples »

- **Angles d'Euler** $\rightarrow \mathbf{x}_R = (\psi, \theta, \varphi)^T$

\rightarrow 1 rotation autour de z d'angle $\psi \rightarrow \mathcal{R}_\psi(\psi, \mathbf{x}_\psi, \mathbf{y}_\psi, \mathbf{z}_\psi)$

\rightarrow 1 rotation autour de x d'angle $\theta \rightarrow \mathcal{R}_\theta(\theta, \mathbf{x}_\theta, \mathbf{y}_\theta, \mathbf{z}_\theta)$

\rightarrow 1 rotation autour de z d'angle $\varphi \rightarrow \mathcal{R}_\varphi(\varphi, \mathbf{x}_\varphi, \mathbf{y}_\varphi, \mathbf{z}_\varphi)$



Représentation de la situation de l'organe terminal

■ Représentation de l'orientation

□ Systèmes de trois angles

- **Idée** : Décomposer la rotation « complexe » effectuée par l'organe terminal en trois rotations « simples »

- **Angles d'Euler** $\rightarrow \mathbf{X}_R = (\psi, \theta, \varphi)^T$

\rightarrow On montre que \mathbf{x}_R peut être calculé à partir de R_{0n}

$$\begin{aligned} \text{Si } r_{33} &\neq \pm 1 \text{ alors} \\ \psi &= \text{Atan2}(r_{13}, -r_{23}) \\ \theta &= \arccos(r_{33}) \\ \varphi &= \text{Atan2}(r_{31}, r_{32}) \end{aligned}$$

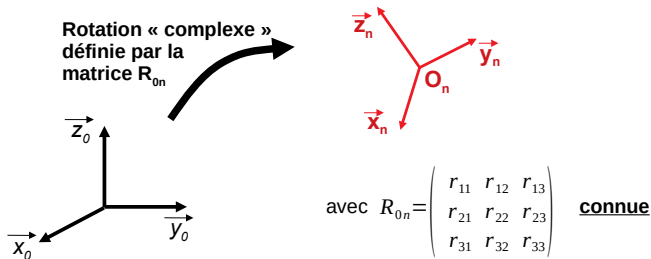
$$\begin{aligned} \text{Si } r_{33} &= \pm 1 \text{ alors} \\ \theta &= \pm \frac{\pi}{2} \\ r_{33} \varphi + \psi &= \text{Atan2}(r_{21}, r_{11}) \end{aligned}$$

Singularité : φ et ψ ne peuvent pas être calculés indépendamment \rightarrow choix arbitraire

Représentation de la situation de l'organe terminal

■ Représentation de l'orientation

□ Rotation autour d'un axe et quaternions



Question : Autour de quel axe a-t-on tourné et avec quel angle ?

Représentation de la situation de l'organe terminal

■ Représentation de l'orientation

□ Rotation autour d'un axe et quaternions

- Idée : Définir la rotation « complexe » effectuée par l'organe terminal en déterminant son axe et son angle à partir de R_{0n}
- 4 paramètres sont nécessaires :
 - Axe de rotation $\rightarrow u$: vecteur directeur **unitaire** $\rightarrow u_{(0)} = (u_x, u_y, u_z)$
 - Angle de rotation autour de cet axe $\rightarrow \theta$
 $\rightarrow \mathbf{X}_R = (\theta, u_x, u_y, u_z)^T$
- On peut déduire ces 4 paramètres de la matrice de rotation :

$$\theta = \arccos\left(\frac{r_{11} + r_{22} + r_{33} - 1}{2}\right) \quad u = \frac{1}{2 \sin(\theta)} \begin{pmatrix} r_{32} - r_{23} \\ r_{13} - r_{31} \\ r_{21} - r_{12} \end{pmatrix} \text{ si } \sin(\theta) \neq 0$$

Représentation de la situation de l'organe terminal

■ Représentation de l'orientation

□ Rotation autour d'un axe et quaternions

- Idée : Définir la rotation « complexe » effectuée par l'organe terminal en déterminant son axe et son angle à partir de R_{0n}
- Quaternion unitaire $\rightarrow \mathbf{X}_R = (\eta, \epsilon_x, \epsilon_y, \epsilon_z)^T \mid \eta^2 + \epsilon^2 = 1$
 - Aussi appelé paramètres d'Olinde – Rodrigues ou paramètres d'Euler
 \rightarrow Très utilisé en robotique, en info. graphique, etc.
 - **Par définition** : $\eta = \cos(\theta/2)$ et $\epsilon = \sin(\theta/2) \mathbf{u}_{(0)}$ avec $\epsilon = (\epsilon_x, \epsilon_y, \epsilon_z)^T$

- On montre que :

$$\eta = \frac{1}{2} \sqrt{r_{11} + r_{22} + r_{33} + 1}$$

$$\epsilon_x = \frac{1}{2} \sqrt{r_{11} - r_{22} - r_{33} + 1}$$

$$\epsilon_y = \frac{1}{2} \sqrt{-r_{11} + r_{22} - r_{33} + 1}$$

$$\epsilon_z = \frac{1}{2} \sqrt{-r_{11} - r_{22} + r_{33} + 1}$$

Représentation de la situation de l'organe terminal

■ Représentation de l'orientation : Bilan

□ Si on connaît $R_{0n} = [r_{ij}]$ on peut calculer X_R

■ Représentations non minimales → Pas de singularité

– Axe + angle de rotation → $X_R = (\theta, u_x, u_y, u_z)^T$

$$\theta = \arccos\left(\frac{r_{11} + r_{22} + r_{33} - 1}{2}\right) \quad u = \frac{1}{2 \sin(\theta)} \begin{pmatrix} r_{32} - r_{23} \\ r_{13} - r_{31} \\ r_{21} - r_{12} \end{pmatrix} \text{ si } \sin(\theta) \neq 0$$

– Quaternions → $X_R = (\eta, \epsilon_x, \epsilon_y, \epsilon_z)^T \mid \eta^2 + \epsilon^2 = 1$

$$\eta = \frac{1}{2} \sqrt{r_{11} + r_{22} + r_{33} + 1} \quad \begin{aligned} \epsilon_x &= \frac{1}{2} \sqrt{r_{11} - r_{22} - r_{33} + 1} \\ \epsilon_y &= \frac{1}{2} \sqrt{-r_{11} + r_{22} - r_{33} + 1} \quad \epsilon_z = \frac{1}{2} \sqrt{-r_{11} - r_{22} + r_{33} + 1} \end{aligned}$$

Représentation de la situation de l'organe terminal

■ Représentation de l'orientation : Bilan

□ Si on connaît $R_{0n} = [r_{ij}]$ on peut calculer x_R

■ Représentations minimales → Attention aux singularités !

Angles de Bryant

→ $x_R = (\lambda, \mu, \nu)^T$

Si $r_{13} \neq \pm 1$ alors
 $\lambda = \text{Atan2}(-r_{23}, r_{33})$
 $\mu = \arcsin(r_{13})$
 $\nu = \text{Atan2}(-r_{12}, r_{11})$

Hors
singularité

Si $r_{13} = \pm 1$ alors
 $\mu = \pm \frac{\pi}{2}$
 $r_{13}\lambda + \nu = \text{Atan2}(-r_{21}, r_{22})$

En
singularité

Angles d'Euler

→ $x_R = (\psi, \theta, \varphi)^T$

Si $r_{33} \neq \pm 1$ alors
 $\psi = \text{Atan2}(r_{13}, -r_{23})$
 $\theta = \arccos(r_{33})$
 $\varphi = \text{Atan2}(r_{31}, r_{32})$

Si $r_{33} = \pm 1$ alors
 $\theta = \pm \frac{\pi}{2}$
 $r_{33}\varphi + \psi = \text{Atan2}(r_{21}, r_{11})$

Représentation de la situation de l'organe terminal

■ Représentation de l'orientation : Bilan

□ Si l'on connaît x_R , on peut aussi calculer R_{0n}

■ **Angles de Bryant** $\rightarrow x_R = (\lambda, \mu, \nu)^T$

$$R_{0n}(\lambda, \mu, \nu) = \begin{pmatrix} \cos\mu\cos\nu & -\cos\mu\sin\nu & \sin\mu \\ \sin\lambda\sin\mu\cos\nu + \cos\lambda\sin\nu & -\sin\lambda\sin\mu\sin\nu + \cos\lambda\cos\nu & -\sin\lambda\cos\mu \\ -\cos\lambda\sin\mu\cos\nu + \sin\lambda\sin\nu & \cos\lambda\sin\mu\sin\nu + \sin\lambda\cos\nu & \cos\lambda\cos\mu \end{pmatrix}$$

■ **Angles d'Euler** $\rightarrow x_R = (\psi, \theta, \varphi)^T$

$$R_{0n}(\psi, \theta, \varphi) = \begin{pmatrix} \cos\psi\cos\varphi - \sin\psi\cos\theta\sin\varphi & -\cos\psi\sin\varphi - \sin\psi\cos\theta\cos\varphi & \sin\psi\sin\theta \\ \sin\psi\cos\varphi + \cos\psi\cos\theta\sin\varphi & -\sin\psi\sin\varphi + \cos\psi\cos\theta\cos\varphi & -\cos\psi\sin\theta \\ \sin\theta\sin\varphi & \sin\theta\cos\varphi & \cos\theta \end{pmatrix}$$

Représentation de la situation de l'organe terminal

■ Représentation de l'orientation : Bilan

□ Si l'on connaît \mathbf{x}_R , on peut aussi calculer \mathbf{R}_{on}

■ **Axe $\mathbf{r} = (r_x, r_y, r_z)^T$ et angle de rotation θ**

$$\mathbf{R}_{on}(\theta, \mathbf{r}) = \begin{pmatrix} r_x^2(1 - c\theta) + c\theta & r_x r_y(1 - c\theta) - r_z s\theta & r_x r_z(1 - c\theta) + r_y s\theta \\ r_x r_y(1 - c\theta) + r_z s\theta & r_y^2(1 - c\theta) + c\theta & r_y r_z(1 - c\theta) - r_x s\theta \\ r_x r_z(1 - c\theta) - r_y s\theta & r_y r_z(1 - c\theta) + r_x s\theta & r_z^2(1 - c\theta) + c\theta \end{pmatrix}$$

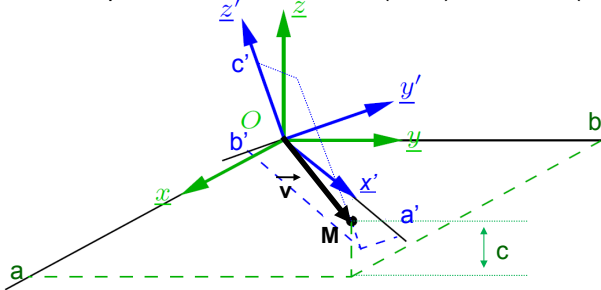
■ **Quaternion unitaire**

$$\mathbf{R}_{on}(\eta, \epsilon) = \begin{pmatrix} 2.(\eta^2 + \epsilon_x^2) - 1 & 2.(\epsilon_x \epsilon_y - \eta \epsilon_z) & 2.(\epsilon_x \epsilon_z + \eta \epsilon_y) \\ 2.(\epsilon_x \epsilon_y + \eta \epsilon_z) & 2.(\eta^2 + \epsilon_y^2) - 1 & 2.(\epsilon_y \epsilon_z - \eta \epsilon_x) \\ 2.(\epsilon_x \epsilon_z - \eta \epsilon_y) & 2.(\epsilon_y \epsilon_z + \eta \epsilon_x) & 2.(\eta^2 + \epsilon_z^2) - 1 \end{pmatrix}$$

Matrices de transformation

■ Rotation seule → Changement de base

- Deux repères orthonormés directs $R(O, \underline{x}, \underline{y}, \underline{z})$ et $R'(O, \underline{x}', \underline{y}', \underline{z}')$ (même origine)
- Un point M de coordonnées (a, b, c) dans R et (a', b', c') dans $R' \rightarrow \vec{v} = \overrightarrow{OM}$



IMPORTANT

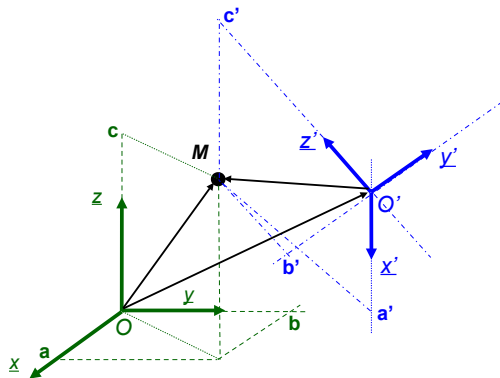
LA MATRICE DE ROTATION DONNE LA RELATION ENTRE $\vec{v}_{(R)}$ et $\vec{v}_{(R')}$

$$\vec{v}_{(R)} = R \vec{v}_{(R')}$$

Matrices de transformation

Translation + rotation → Changement de repère

- Deux repères orthonormés directs $R(O, \underline{x}, \underline{y}, \underline{z})$ et $R'(O', \underline{x}', \underline{y}', \underline{z}')$ (origines différentes)
- Un point M de coordonnées (a, b, c) dans R et (a', b', c') dans R'



IMPORTANT

PRISE EN COMPTE DU CHANGEMENT
DE POSITION ET D'ORIENTATION

$$\vec{OM}_{(R)} = \vec{OO'}_{(R)} + R \vec{O'M}_{(R')}$$

Matrices de transformation

■ Matrice de passage homogène

□ Définition

$$T = \begin{pmatrix} \begin{matrix} r_{11} & r_{12} & r_{13} \\ r_{21} & r_{22} & r_{23} \\ r_{31} & r_{32} & r_{33} \end{matrix} & \begin{matrix} X \\ Y \\ Z \end{matrix} \\ 0 & 0 & 0 & 1 \end{pmatrix}$$

$\mathbf{R} \quad \mathbf{P} = \overrightarrow{OO'}_{(R)}$

IMPORTANT

Fournit une première information de situation de R' par rapport à R

□ Expression des *coordonnées homogènes* d'un point M

$$\underbrace{\begin{pmatrix} \overrightarrow{OM}_{(R)} \\ 1 \end{pmatrix}}_{\substack{\text{Coordonnées} \\ \text{homogènes de} \\ \text{M dans R}}} = T \underbrace{\begin{pmatrix} \overrightarrow{O'M}_{(R')} \\ 1 \end{pmatrix}}_{\substack{\text{Coordonnées} \\ \text{homogènes} \\ \text{de M dans R'}}$$

Matrice de transformation

■ Matrice de passage homogène

□ Définition

$$T = \begin{array}{c} \text{R} \quad \text{P} = \overrightarrow{OO'} \text{ (R)} \\ \left(\begin{array}{ccc|c} r_{11} & r_{12} & r_{13} & X \\ r_{21} & r_{22} & r_{23} & Y \\ r_{31} & r_{32} & r_{33} & Z \\ \hline 0 & 0 & 0 & 1 \end{array} \right) \end{array}$$

IMPORTANT

Fournit une première
information de situation
de R' par rapport à R

□ Unification des différents cas possibles :

- Si rotation seule, P est nul et R définit la rotation effectuée
- Si translation seule, R = Id et P non nul définit la translation effectuée
- Si rotation et translation, R ≠ Id et P non nul